

## زیست-سنتر نانوذرهای آهن اکسید با عصاره آبی کاکتوس اپونتیا و کاربرد آن در سنتر مشتق‌های پیریمیدین

مریم جهاندار لاشکی<sup>۱</sup>، رحیمه حاجی نصیری<sup>۲\*</sup>، زینت السادات حسینی<sup>۲</sup> و نوابه نامی<sup>۲</sup>

۱. دانشجوی دکتری گروه شیمی، واحد قائم شهر، دانشگاه آزاد اسلامی، قائم شهر، ایران.

۲. دانشیار گروه شیمی، واحد قائم شهر، دانشگاه آزاد اسلامی، قائم شهر، ایران.

دریافت: فروردین ۱۴۰۱ بازنگری: مهر ۱۴۰۱ پذیرش: آبان ۱۴۰۱



10.30495/JACR.2022.1956128.2029



20.1001.1.27835324.2023.17.1.3.1

### چکیده

در سال‌های اخیر، روش‌های سبز به ویژه استفاده از عصاره‌های گیاهی در سنتر نانوذرهای فلزی توجه زیادی را به خود جلب کرده است. در این پژوهش، زیست-سنتر نانوذرهای آهن اکسید ( $\text{Fe}_3\text{O}_4$ -NPs) مغناطیسی با استفاده از عصاره آبی کاکتوس اپونتیا انجام شد. عصاره گیاهی در فرایند سنتر نانوذرهای نقش کاهنده و پایدارکننده را داشت. ساختار و ریخت نانوذرهای آهن اکسید سنترشده با روش‌های پراش پرتو ایکس (XRD)، میکروسکوپ الکترونی روبشی (SEM)، طیف‌سنجی تبدیل فوریه فروسرخ (FTIR)، طیف‌سنجی بازتاب نفوذی (DRS) و مغناطیسی‌سنجی نمونه ارتعاشی (VSM) تأیید شد. برایه نتیجه‌های به‌دست‌آمده، استفاده از روش ارائه شده منجر به سنتر نانوذرهای مغناطیسی آهن اکسید کروی شکل با میانگین اندازه ۹/۷ نانومتر شد. همچنین، مشتقات پیریمیدین از یک واکنش سه‌جزئی و تک‌ظرفی بین آلدهیدهای آروماتیک، استوانه‌ایلید و اوره یا تیواوره در حضور آهن اکسید مغناطیسی سنترشده به عنوان کاتالیست، در حل اتانول و در دمای اتاق سنتر شدند. زمان کوتاه واکنش، مراحل خالص سازی آسان و بازده بالا از مزایای این روش هستند.

واژه‌های کلیدی: اپونتیا، زیست-سنتر، نانوذرهای آهن اکسید، پیریمیدین، مگنتیت.

## مقدمه

کاکتوس اپونتیا به نام‌های انجیر تیغی، انجیر هندی و گلابی خاردار نیز شناخته می‌شود. البته به کاکتوس اپونتیا، کاکتوس راکتی نیز گفته می‌شود. این نام‌گذاری‌ها برپایه ظاهر راکت مانند این کاکتوس است. این گیاه از کاکتوسیان با ساقه خزنه و بندبند و گوشتشی و مسطح با ساقه‌های کوتاه سیخک‌دار و بندرت با تیغ‌های دراز حدود سه سانتی‌متر است. ارتفاع آن‌ها گاهی به ۱ تا ۲/۵ متر نیز می‌رسد. گلهای این نوع کاکتوس در تابستان پدیدار می‌شوند و رنگ زرد روشن دارند. این کاکتوس میوه‌هایی به رنگ زرد یا قرمز دارد که خوراکی است. به دلیل سازگاری این گیاه، رویش آن در مناطق متفاوت جغرافیایی ممکن، ولی خانه اصلی آن کویر و بیابان است. میوه این گیاه، در درمان دیابت نوع دوم و کنترل فشارخون و سلامت قلب مؤثر است و پژوهش‌ها در مورد آن ادامه دارد [۱۶]. ترکیب‌های ناجور‌حلقه دارای اتم نیتروژن، ترکیب‌های بسیار مهمی هستند. به طور ویژه، مشتقات پیریمیدین در بسیاری از فراورده‌های طبیعی و دارویی یافت می‌شوند. تریپوپریم، سولفادیازین و کپسیتابین از داروهای دارای حلقه پیریمیدین در بسیاری از پیریمیدین در ساختار بسپارهای طبیعی و سنتزی نیز وجود دارد. به دلیل اهمیت این ترکیب‌ها روش‌های زیادی برای سنتر آنها ارائه شده است [۱۷ تا ۲۳]. در پژوهش حاضر، زیست‌سنتر نانوذرهای آهن اکسید با خاصیت مغناطیسی با استفاده از عصاره آبی کاکتوس اپونتیا ارائه شده است. همچنین، نانوذرهای تهیه‌شده به عنوان کاتالیست کارآمد برای سنتر مشتقات پیریمیدین استفاده شده‌اند.

### بخش تجربی

#### حال، مواد و دستگاه‌ها

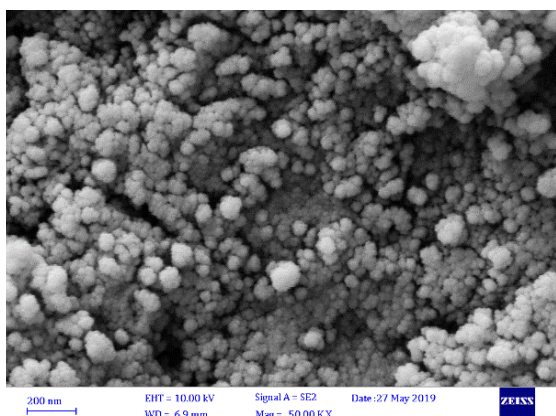
حال‌ها و واکنشگرها و مواد شیمیایی، از شرکت مواد شیمیایی مرک آلمان تهیه شدند و خالص‌سازی بیشتر بر آن‌ها صورت نگرفت. نقطه ذوب فراوردها با دستگاه الکتروترمال

نانوذرهای اکسیدی فلزهای واسطه به دلیل ویژگی‌های الکترونیکی، مغناطیسی، کاتالیستی و دارویی از اهمیت زیادی برخوردار هستند [۱ تا ۵]. امروزه استفاده از نانوذرهای فلزی به عنوان کاتالیست‌های ناهمگن در واکنش‌های متفاوت آلی، از اهمیت ویژه‌ای برخوردار است. فلزهای واسطه جدول تناوبی عناصر، رایج‌ترین کاتالیست‌ها هستند. از نانوذرات فلزی به عنوان کاتالیست، در صنایع دارویی استفاده می‌شود. همچنین، این نانوذرات به دلیل داشتن ویژگی مغناطیسی در دستگاه‌های الکترونیکی و حسگرهای با حساسیت بالا به کارگرفته می‌شود [۶]. مگنتیت ( $\text{Fe}_3\text{O}_4$ ) از پرکاربردترین اکسیدهای فلزی است و کاربردهای متنوعی دارد. مگنتیت، در دمای اتاق، ویژگی فرومغناطیس نشان می‌دهد و ساختار آن به صورت بلوری اسپینل معکوس و در برگیرنده آهن دو ظرفیتی و سه ظرفیتی است [۷]. آهن اکسید زیست سازگاری بالایی دارد و برای انسان غیرسمی است و می‌تواند به عنوان دارو مورد استفاده قرار گیرد. نانوذرات سوپریارا مغناطیسی آهن اکسید به دلیل ویژگی فیزیکی، شیمیایی، حرارتی و مکانیکی منحصر به فرد و همچنین، به دلیل داشتن ویژگی‌های سطحی مناسب، کاربردهای مهمی مانند کاربردهای زیست پزشکی مانند سلول درمانی، ترمیم بافت، دارو رسانی و رزونانس مغناطیسی تصویربرداری (MRI) دارند [۸ و ۹]. تاکنون روش‌های فیزیکی، شیمیایی و زیستی بسیاری برای سنتر نانوذرات ارائه شده است [۱۰]. نانوذرهای تشکیل شده با هر روش ویژگی خاصی نشان می‌دهد. زیست‌سنتر نانوذرهای فلزی با گیاهان، در حال حاضر یکی از روش‌های مورد توجه پژوهشگران است که دلیل آن حذف یا کاهش مواد سمی و همچنین سازگاری این روش‌ها با محیط زیست است. سنتر نانوذرهای فلزی با استفاده از بافت‌های غیرفعال گیاهی، عصاره‌های گیاهی و سایر بخش‌های گیاهان زنده، یک روش جایگزین مدرن برای تولید آن‌ها است [۱۱ تا ۱۵].

روش کار عمومی سنتز پیریمیدین با کاتالیست نانوذرهای آهن اکسید مغناطیسی مخلوط استوانه‌ایلید ۱ (۱ میلی‌مول)، آلدھید ۲ (۱ میلی‌مول)، اوره یا تیواوره ۳ (۱ میلی‌مول) و ۱۰ مول درصد آهن اکسید مغناطیسی در دمای اتاق و حلال اتانول همزده شد و مقدار پیشرفت واکنش با سوانگاری لایه نازک (TLC) بررسی شد. پس از پایان واکنش، مخلوط واکنش در دمای محیط سرد و رسوب به دست آمده صاف و با آب و اتانول شسته شد و فراورده خالص پیریمیدین به دست آمد و با روش‌های طیف‌سنجدی شناسایی شدند.

### نتیجه‌ها و بحث

مشخصه‌یابی نانوذرهای آهن اکسید تهیه شده برای ریخت‌شناسی نانوذرات تهیه شده، تصویر میکروسکوپ الکترونی روشنی (SEM) به کار گرفته شد. تصویر SEM نانوذرهای آهن اکسید تهیه شده در شکل ۱ نشان داده شده است.



شکل ۱ تصویر SEM نانوذرهای آهن اکسید تهیه شده

همان‌طور که مشاهده می‌شود، نانوذرهای به دست آمده از این روش کروی‌شکل هستند. ساختار نانوذرهای سنتز شده با

۹۱۰ اندازه‌گیری شد. طیف‌های NMR نمونه‌ها با دستگاه BRUKER DEX-100، 162,300 AVANCE NMR در حلal<sub>3</sub> به دست آمدند. دیگر دستگاه‌های به کار گرفته شده برای شناسایی نمونه، پراش‌سنج PHILIPS ساخت Thermo هلند، طیف‌سنج فروسرخ تبدیل فوریه ساخت شرکت Amerika و دستگاه مغناطیسی‌سنج نمونه ارتعاشی مربوط به MDKB شرکت مغناطیسی کویر کاشان، بودند. همچنین، میکروسکوپ الکترونی روشنی ساخت TESCAN جمهوری چک برای ریخت‌شناسی نمونه به کار گرفته شد.

تهیه عصاره آبی کاکتوس اپونتیا مقدار ۱۰ گرم از کاکتوس اپونتیا قطعه قطعه و در ۱۰۰ میلی‌لیتر آب مقطر به مدت سه روز قرارداده شد. عصاره آبی با کاغذ صافی جدا و برای مصارف بعدی در دمای صفر تا ۴ °C نگهداری شد.

تهیه نانوذرهای آهن اکسید با عصاره آبی اپونتیا به ۲۰ میلی‌لیتر از عصاره آبی کاکتوس اپونتیا، ۳ گرم از نمک کلرید آهن کلرید افزوده شد و به مدت ۱ ساعت در دمای ۵۰ °C ۶ گرمادهی شد. نانوذرهای آهن اکسید به دست آمده با کمک آهربا جمع‌آوری و ۲ بار با آب مقطر شسته و در دمای ۷۰ °C آون خشک شد.

رسوب سیاه ایجاد شده به مدت ۲ ساعت در دمای ۵۰۰ °C برای حذف ترکیب‌های آلی در کوره قرار داده شد. نانوذرهای پایدار آهن اکسید تهیه شده با پراش پرتو ایکس (XRD)، میکروسکوپ الکترونی روشنی (SEM)، طیف‌سنجدی فروسرخ تبدیل فوریه (FTIR) و آزمون مغناطیسی‌سنجی (VSM)، طیف‌سنجدی بازنتاب نفوذی (DRS) و تابع کوبلکا-مانک<sup>۳</sup> شناسایی شدند [۲۴].

1. Vibrating Sample Magnetometry

2. Diffuse Reflectance Spectroscopy

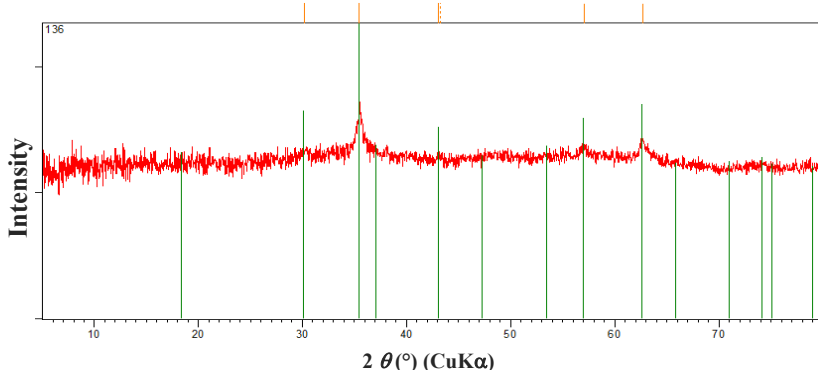
3. Kubelka-Munk Function

سال هفدهم، شماره ۱، بهار ۱۴۰۲

نشریه پژوهش‌های کاربردی در شیمی (JARC)

آهن اکسید سنتزشده در الگو قابل مشاهده است. میانگین اندازه دانه‌های بلوری نانوذره‌های تهیه شده با معادله شر محاسبه شد. با توجه به پهنانی میانه بلندترین قله ( $2\theta = 35/46^\circ$ ، میانگین اندازه دانه‌های بلوری برابر  $9.7$  نانومتر به دست آمد.

توجه به الگوی پراش پرتو ایکس مربوط شناسایی شد. این الگو در شکل ۲ نشان داده شده است. ساختار بلوری مکعبی نانوذره‌ها با داده‌های گزارش شده همخوانی خوبی دارد (JCPDS No.: 19-629). قله‌های شاخص در  $2\theta$  های  $35/46^\circ$ ،  $44.0^\circ$ ،  $54.2^\circ$  و  $57.2^\circ$  مربوط به ساختار مکعبی نانوذره‌های



شکل ۲ الگوی XRD نانوذره‌های آهن اکسید سنتزشده

نانوذره‌ها برابر  $20$  emu/g است. طیف بازتاب نفوذی نانوذره‌های آهن اکسید در گستره  $200$  تا  $800$  نانومتر، دو جذب بیشینه در  $262$  و  $304$  nm با مقدار جذب نانوذره‌های آهن اکسید در گزارش‌های پیشین با مقابله جذب نانوذره‌های آهن اکسید در [۵]. تابع کوبلا-مانک نانوذره‌های سنتزشده در دارد (شکل ۵). تابع کوبلا-مانک نانوذره‌های سنتزشده در ناحیه فرابنفش در شکل ۶ آورده شده است. تابع کوبلا-مانک با معادله ۱ به دست می‌آید.

$$F(R) = (1 - R)^2 / R \quad (1)$$

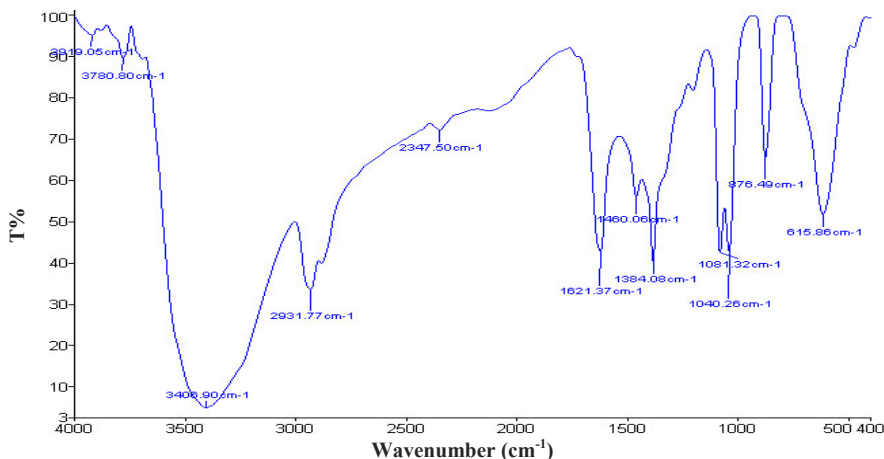
که در آن،  $R$  بازتابش نمونه با ضخامت کم است. برای مواد نیمرسانا نمودار  $F(R).hv^{1/2}$  در مقابل  $hv$  یک ناحیه خطی به نام تایو نشان می‌دهد که می‌توان انرژی پهنانی نوار را با استفاده از برونویابی این ناحیه خطی پیش‌بینی کرد. در نانوذره‌های مگنتیت سنتزشده با گیاه اپونتیا، مقدار انرژی پهنانی نوار با تابع کوبلا-مانک،  $3/3$  ev اندازه‌گیری شد. انرژی پهنانی

در طیف فروسرخ تبدیل فوریه، نانوذره‌های آهن اکسید (شکل ۳)، یک جذب کششی قوی در  $340.6\text{ cm}^{-1}$  مشاهده می‌شود که مربوط به پیوندهای هیدروژنی ترکیبات فنلی و الكلی گیاه است. جذب در  $2931\text{ cm}^{-1}$  مربوط به ارتعاشات کششی پیوندهای C-H است. جذب مشاهده شده در  $1621\text{ cm}^{-1}$  ممکن است مربوط به جذب آمیدی پروتئین‌ها باشد. نوارهای موجود در  $1081$  و  $1384\text{ cm}^{-1}$  نشان دهنده ارتعاشات خمشی پیوندهای C-H است. نوارهای مشاهده شده در  $410$  و  $475\text{ cm}^{-1}$  نیز وجود پیوندهای Fe-O را تأیید می‌کند. نوار مشاهده شده در  $616\text{ cm}^{-1}$  می‌تواند مربوط به آهن اکسید شده بر سطح باشد.

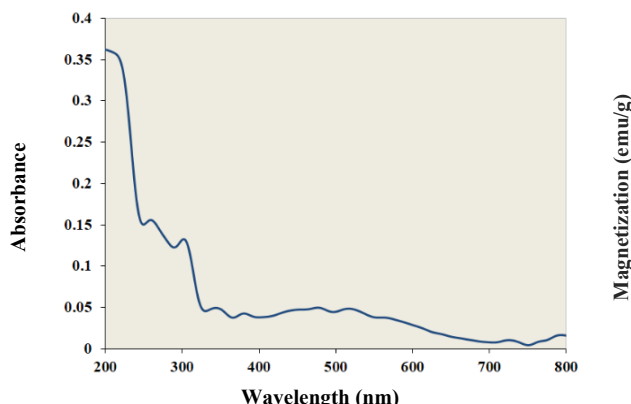
نانوذره‌های به دست آمده از این روش ویژگی مغناطیسی قابل توجهی دارند و به راحتی جذب آهنربا می‌شوند (شکل ۴). طیف VSM این ذره‌ها نیز وجود ویژگی مغناطیسی این نانوذره‌ها را تأیید می‌کند [۲۴]. مغناطیس‌پذیری سیرشده

است [۲۴].

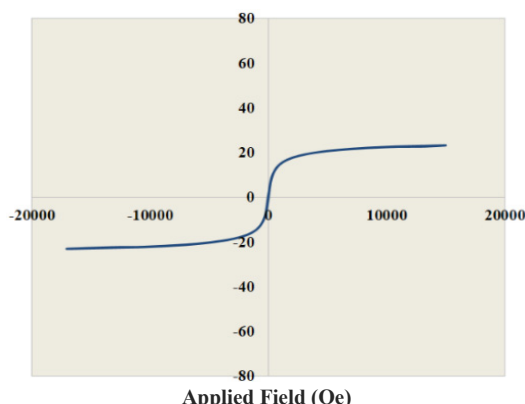
نوار برای آهن اکسید، برابر با ۲ eV بود. افزایش در مقدار این انرژی نشان‌دهنده وجود نانوذرهای مغناطیسی آهن اکسید



شکل ۳ طیف FTIR نانوذرهای آهن اکسید سنتز شده



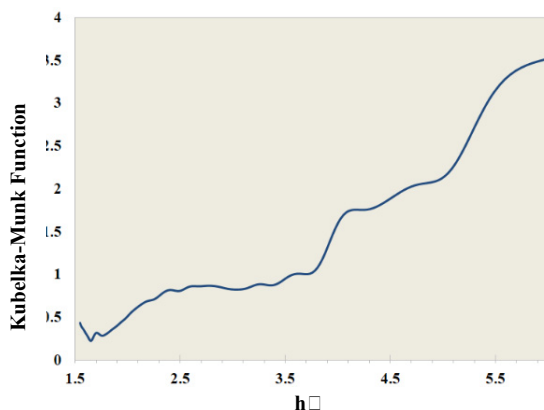
شکل ۵ طیف DRS نانوذرهای آهن اکسید سنتز شده



شکل ۴ نمودار VSM نانوذرهای آهن اکسید سنتز شده

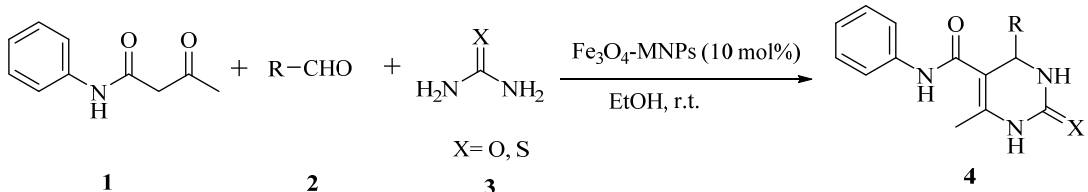
برای بهینه‌سازی شرایط واکنش، واکنش استواستانیلید،<sup>-۴</sup> متوكسیبنزآلدهید و تیواوره به عنوان واکنش نمونه انتخاب و بررسی شد. ابتدا بهینه‌سازی مقدار کاتالیست آهن اکسید مغناطیسی و حلال در دمای اتاق برای واکنش نمونه بررسی شد و بهترین نتیجه با مقدار کاتالیست ۱۰ مول درصد (۱۰ میلی‌مول) به دست آمد. افزایش مقدار کاتالیست تا ۲۰ مول درصد، بازده واکنش را کاهش می‌دهد. همچنین، بهینه‌سازی حلال نیز برای واکنش نمونه انجام شد و بهترین نتیجه در حلال اتانول مشاهده شد (جدول ۱). سپس، این واکنش در حضور کاتالیست آهن اکسید مغناطیسی به مقدار ۱۰ mol% و حلال اتانول در دماهای متفاوت بررسی شد. برپایه جدول ۲، بهترین نتیجه‌ها در دمای اتاق به دست آمد.

چهار مشتق از ترکیبات تتراهیدروپیریمیدین-۵-کربوکسامید با این روش سنتر شد (شکل ۸).



شکل ۶ تابع کوبلکا-مانک نانوذره‌های آهن اکسید سنتر شده

سنتر مشتقات تتراهیدروپیریمیدین-۵-کربوکسامید نانوذرات مغناطیسی آهن اکسید به دست آمده به عنوان کاتالیست برای سنتر مشتقات تتراهیدروپیریمیدین-۵-کربوکسامید (۴) از راه واکنش سه‌جزئی استواستانیلید (۱)، مشتقات بنزآلدهید (۲) و تیواوره یا اوره (۳) به کار برده شد (شکل ۷).



شکل ۷ طرحواره سنتر مشتقات تتراهیدروپیریمیدین-۵-کربوکسامید

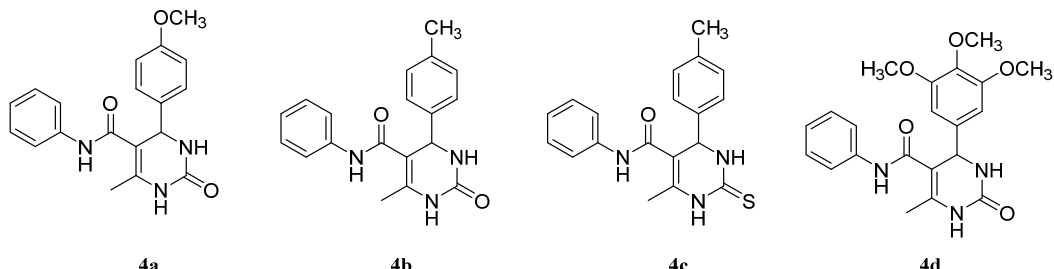
جدول ۲ بهینه سازی دما برای سنتز مشتقات  
تتراهیدروپیریمیدین-۵-کربوکسامید

بازدھ (%)	زمان (دقیقه)	(°C) دما	حال	کاتالیست (مول %)	ردیف
۱۵	۱۸۰	دمای محیط	اتانول	---	۱
۷۵	۱۲۰	دمای محیط	اتانول	۱۰	۲
۷۵	۱۲۰	دمای محیط	اتانول	۱۵	۳
۷۸	۱۰۰	بازروانی	اتانول	۱۰	۴
۷۸	۱۰۰	بازروانی	اتانول	۱۵	۵

\* بازده محصول خالص شده

جدول ۱ بهینه سازی حلال برای سنتز مشتقات  
تتراهیدروپیریمیدین-۵-کربوکسامید

بازدھ (%)	حال	کاتالیست (مول %)	ردیف
۴۵	بدون حلال	۱۰	۱
۷۵	اتانول	۱۰	۲
ناجیز	آب	۱۰	۳
۶۵	آب: اتانول (۱:۱)	۱۰	۴



شکل ۸ طرحواره مشتقات تتراهیدروپیریمیدین-۵-کربوکسامید سنتز شده

7.17(4H, dd,  $J= 13.5, 5.4\text{Hz}$ ), 7.27(2H, t,  $J= 7.5, 1.8\text{Hz}$ ), 7.54(1H, s), 7.57(2H, t,  $J= 3.3, 1.2\text{Hz}$ ), 8.70(1H, d,  $J= 1.5\text{Hz}$ ), 9.54(1H, s).

**۴-متیل-N-فنیل-۲-تیو-۴-(پ-تولیل)-۴-کربوکسامید (4c)**

White solid; m.p. = 179-182 °C;  $^1\text{H}$  NMR (300 MHz, DMSO),  $\delta_{\text{ppm}}$ : 2.07(3H, s), 2.27(3H, s), 5.38(1H, d,  $J= 2.4\text{Hz}$ ), .03(1H, t,  $J= 14.7, 7.2\text{Hz}$ ), 7.16(4H, s), 7.27(2H, t,  $J= 15.9, 7.5\text{Hz}$ ), 7.56(2H, d,  $J= 7.5\text{Hz}$ ), 9.42(1H, s), 9.73(1H, s), 9.98(1H, s).

**۴-متیل-۲-اکسو-N-فنیل-۴-(پ-تولیل)-۴-کربوکسامید (4d)**

White solid; m.p. = 255-257 °C;  $^1\text{H}$  NMR (300

داده های فیزیکی و طیف سنجی ترکیب های سنتز شده  
**۴-(۴-متیل-۶-اکسو-N-فنیل)-۶-متیل-۲-اکسو-N-فنیل-۴-تراهیدروپیریمیدین-۵-کربوکسامید (4a)**

White solid; m.p. = 231-234 °C;  $^1\text{H}$  NMR (300 MHz, DMSO),  $\delta_{\text{ppm}}$ : 2.06(3H,s), 3.71(3H,s), 5.38(1H, d,  $J= 1.8\text{Hz}$ ), 6.88(2H, d,  $J= 8.7\text{Hz}$ ), 7.00(1H, t,  $J= 14.7, 7.2\text{Hz}$ ), 7.24(4H, dd,  $J= 15.6, 7.8\text{Hz}$ ), 7.56(3H, d,  $J= 14.7, 7.2\text{Hz}$ ), 8.72(1H, d,  $J= 0.9\text{Hz}$ ), 9.54(1H,s).

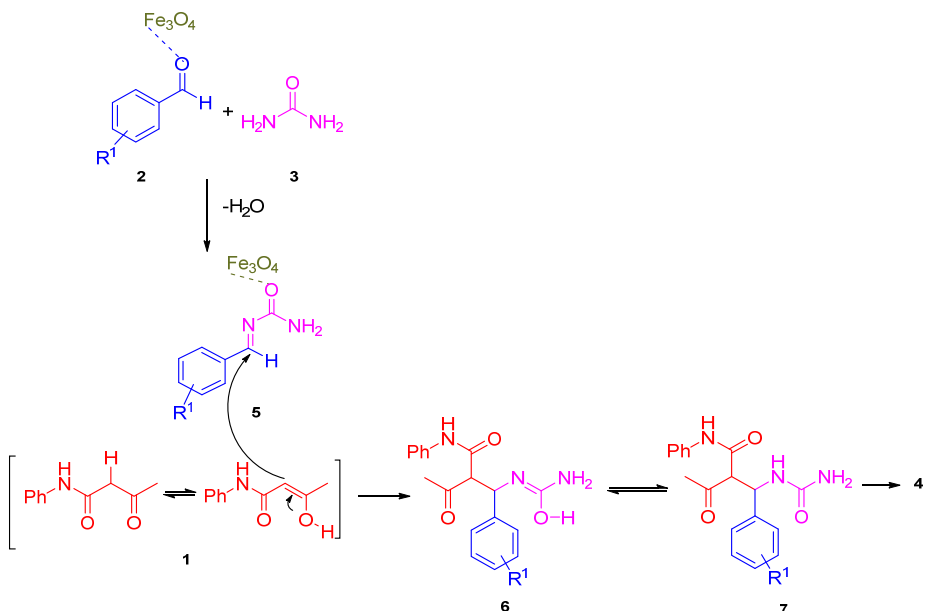
**۴-متیل-۲-اکسو-N-فنیل-۴-(پ-تولیل)-۴-کربوکسامید (4b)**

White solid; m.p. = 249-252 °C;  $^1\text{H}$  NMR (300 MHz, DMSO),  $\delta_{\text{ppm}}$ : 2.04(3H, s), 2.26(3H, s), 5.38(1H, d,  $J= 2.4\text{Hz}$ ), 7(1H, t,  $J= 14.4, 7.2\text{Hz}$ ),

راه کوردینه‌شدن زوج الکترون‌های اتم اکسیژن فعال می‌کند و به راحتی مورد حمله هسته‌دوست **3** (اوره یا تیواوره) قرار می‌گیرد و با حذف آب، حد بواسطه **5** ایجاد می‌شود که به عنوان یک الکترون‌دوست برای افزایش نوکلئوفیل فرم انول  $\beta$ -کتواستر **1** عمل می‌کند. از افزایش فرم انولی کتواستر به حد بواسطه **5**، ترکیب **6** به وجود می‌آید. فرم کتوی ترکیب **6** در یک تراکم درون مولکولی و به دنبال آن حذف یک مولکول آب، برای سنتز مشتقات پیریمیدین **4** شرکت می‌کند.

MHz, DMSO),  $\delta_{\text{ppm}}$ : 2.03(3H, s), 3.75 (3H, s), 3.78(3H, s), 3.83 (3H, s), 5.39 (1H, d,  $J= 2.3\text{Hz}$ ), 6.92 (1H, s), 6.96 (1H, s), 7.15(4H, dd,  $J= 13.5$ , 5.4Hz), 7.26 (2H, t,  $J= 7.5$ , 1.8Hz), 7.53 (1H, s), 7.57(2H, t,  $J= 3.3$ , 1.2Hz), 8.71 (1H, d,  $J= 1.5\text{Hz}$ ), 9.53(1H, s).

سازوکار پیشنهادی برای تشکیل مشتقات پیریمیدین در حضور کاتالیست آهن اکسید در شکل **9** آورده شده است. کاتالیست آهن اکسید مغناطیسی گروه کربونیل آلدهید **2** را از



شکل ۹ طرحواره سازوکار پیشنهادی سنتز مشتقات پیریمیدین

شدند. برپایه نتیجه‌های به دست آمده نانوذره‌های آهن اکسید کروی با اندازه ۹/۷ نانومتر و ویژگی مغناطیسی قبل قبول به دست آمد. همچنین، از نانوذره‌های آهن اکسید سنتز شده به عنوان کاتالیست در سنتز مشتقات جدید پیریمیدین با استفاده از واکنش سه‌جزئی تک‌ظرفی بین آلدهیدهای آروماتیک،

### نتیجه‌گیری

در راستای ارائه یک روش جدید برای تهییه نانوذره‌های اکسید فلزی و اهمیت آن‌ها، در این پژوهش، یک روش سبز برای سنتز نانو اکسیدهای پایدار آهن اکسید مغناطیسی با استفاده از عصاره آبی کاکتوس اپونتیا رائمه شده است. نانوذره‌های آهن اکسید سنتز شده با روش‌های متداول شناسایی

نویسنده‌گان از حمایت‌های مالی و معنوی دانشگاه آزاد  
اسلامی واحد قائم شهر کمال قدردانی و تشکر را دارند.

استواستانیلید و اوره یا تیواوره در حلال اتانول و در دمای اتاق استفاده شد و مشتقات پیریمیدین با بازده بالا به دست آمدند.

### سپاسگزاری

### مراجع

- [1] Sun, S.H.; Murray, C.B.; Weller, D.; Folks, L.; Moser, A.; Science 287, 1989–1992, 2000.
- [2] Jeyadevan, B.; Chinnasamy, C.N.; Shinoda, K.; Tohji, K.; Oka, H.; J. Appl. Phys. 93, 8450–8452, 2003.
- [3] Miller, M.M.; Prinz, G.A.; Cheng, S.F.; Bouznak, S.; Appl. Phys. Lett. 81, 2211–2213, 2002.
- [4] Zhang, J.L.; Wang, Y.; Ji, H.; Wei, Y.G.; Wu, N.Z.; Zuo, B.J.; Wang, Q.L.; J. Catal. 229, 114–118, 2005.
- [5] Ettadili, F.E.; Aghris, S.; Laghri, F.; Farahi, A.; Saqrane, S.; Bakasse, M.; Lahrich, S.; El Mhammedi, M.A.; J. Mol. Struct. 1248, 131538, 2022.
- [6] Baghi, J.; Bhattacharya S.K.; Transition Met. Chem. 32, 47–55, 2007.
- [7] Abhilash, Revati, K.; Pandey, B.D.; Bull. Mater. Sci. 34, 191–198, 2011.
- [8] Dehghan, Z.; Ranjbar, M.; Govahi, M.; Khakdan, F.; J. Drug Deliv. Sci. Technol. 67, 102941, 2022.
- [9] Nezafat, Z.; Nasrollahzadeh, M.; J. Mol. Struct. 1228, 129731, 2021.
- [10] Hajinasiri, R.; Norozi, B.; Ebrahimzadeh, H. Chem. Lett. 45, 1238–1240, 2016.
- [11] Dadashi, H.; Hajinasiri, R.; Int. J. Nano Dimens. 11, 405–411, 2020.
- [12] Usman, U.L.; Singh, N.B.; Allam, B.K.; Banerjee, S.; Mater. Today 60, 1140–1149, 2022.
- [13] Lukman, A.I.; Gong, B.; Marjo, C.E.; Roessner, U.; Harris, A.T.; J. Colloid Interface Sci. 353, 433–444, 2011.
- [14] Nnadozie, E.C.; Ajibade, P.A.; Mater. Lett. 263, 127145, 2020.
- [15] Salam, H.A.; Rajiv, P.; Kamaraj, M.; Jagadeeswaran, P.; Gunalan, S.; Sivaraj, R.; Plants: Int. J. Biol. Sci. 1, 85–90, 2012.
- [16] Majure, L.C.; Puente, R.; Griffith, M.P.; Judd, W. S.; Soltis, P.S.; Soltis, D.E.; Am. J. Bot. 99, 847–864, 2012.
- [17] Michael, J.P.; Nat. Prod. Rep. 22, 627–646, 2005.
- [18] Shaitanova, E.N.; Balabon, O.A.; Rybakova, A.N.; Khlebnicova, T.S.; Lakhvich, F.A.; Gerusa, I.I.; J. Fluor. Chem. 252, 109905, 2021.
- [19] Bahramia, Gh.; Batooie, N.; Mousavi, S.R.; Miraghaee, Sh.; Hosseinzadeh, N.; Hoshayari, A.; Mousavian, S. M.; Sajadimajd, S.; Mohammadi, B.; Hatami, R.; Mahdavi, M.; Polycycl. Aromat. Compd. 43, 1566–1574, 2022.
- [20] Nadal, E.; Olavarria, E.; Int. J. Clin. Pract. 58, 511–516, 2004.
- [21] Kuma, K.; J. Heterocycl. Chem. 59, 205–238, 2022.
- [22] Ghasemzadeh, M.A.; Mirhosseini-Eshkevari, B.; Heliyon 8, e10022, 2022.
- [23] Hill, M.D.; Movassaghi, M.; Chem. Eur. J. 14, 6836–6844, 2008.
- [24] Rajendran, S.P.; Sengodan, K.; Journal of Nanoscience, 2017, 1–7, 2017.
- [25] Cariou, C.C.A.; Clarkson, G.J.; Shipman, M.; J. Org. Chem. 73, 9762–9764, 2008.
- [26] Armstrong, R.W.; Combs, A.P.; Tempest, P.A.; Brown, S.D.; Keating, T.A.; Acc. Chem. Res. 29, 123–131, 1996.